

刺桑皮正丁醇部位化学成分研究

张高荣^{1,2}, 黄锡山², 黄艳², 赖红芳¹, 王爱娟¹, 李俊^{2*}

(1. 河池学院 化学与生物工程学院, 微生物及植物资源开发利用重点实验室, 广西 宜州 546300; 2. 广西师范大学 化学与药学院, 省部共建药用资源化学与药物分子工程国家重点实验室, 广西 桂林 541000)

摘要: 为研究刺桑 (*Streblus ilicifolius*) 皮正丁醇部位的化学成分, 该文采用硅胶、ODS、Sephadex LH-20、反相半制备高效液相等色谱方法对刺桑皮正丁醇萃取部位进行分离、纯化, 综合理化性质及波谱数据鉴定其化合物的结构。结果表明: 从刺桑皮正丁醇萃取物中分离得到 16 个化合物, 分别鉴定为 icariside E5 (1)、裂环异落叶松脂醇-9-*O*- β -吡喃葡萄糖苷 (2)、2, 4, 6-三甲氧基苯酚-1-*O*- β -D-葡萄糖苷 (3)、9-*O*- β -glucopyranosyl trans-cinnamyl alcohol (4)、3, 4, 5-三甲氧基苯酚-1-*O*- β -呋喃糖基-(1" \rightarrow 6')- β -吡喃葡萄糖苷 (5)、3-羟基-4, 5-二甲氧基苯酚- β -D-吡喃葡萄糖苷 (6)、2, 6-二甲氧基-4-羟基苯酚-1-*O*- β -D-吡喃葡萄糖苷 (7)、isotachioside (8)、ficuscarpanoside A (9)、uridine (10)、methyl syringate 4-*O*- β -D-glucopyranoside (11)、3, 4, 5-三甲氧基苯酚- β -D-吡喃葡萄糖苷 (12)、木犀草素 (13)、人参皂苷 Rg1 (14)、(+)-lyonirensol-3 α -*O*- β -D-glucopyranoside (15)、myricetin 3-neohesperidoside (16)。所有化合物均为首次从该属植物中分离得到。

关键词: 刺桑, 化学成分, icariside E5, 裂环异落叶松脂醇-9-*O*- β -吡喃葡萄糖苷, 人参皂苷 Rg1

中图分类号: Q946

文献标识码: A

Chemical constituents from the bark of n-BuOH fraction of *Streblus ilicifolius*

ZHANG Gaorong^{1, 2}, HUANG Xishan², HUANG Yan², LAI Hongfang¹, Wang Aijuan¹, LI Jun^{2*}

(1. College of Chemistry and Bio-Engineering Hechi University, Guangxi Colleges Universities Key Laboratory of Exploitation of Microbial and Botanical Resources, Yizhou 546300, Guangxi, China; 2. State Key Laboratory for the Chemistry and Molecular Engineering of Medicinal Resources, School of Chemistry and Pharmaceutical Sciences, Guangxi Normal University, Guilin 541004, Guangxi, China)

Abstract: To study the chemical constituents from the n-BuOH part of the bark of *Streblus ilicifolius*, sixteen compounds were isolated and purified from the n-BuOH part of the bark of *S. ilicifolius* by means of various column chromatographic techniques, including silica gel, ODS, Sephadex LH-20 and preparative RP-HPLC. The structures of the isolates were identified by physiochemical properties and spectral data. The results were as follow: The compounds were identified as icariside E5 (1), secoisolariciresinol 9-*O*- β -glucopyranoside (2), 2,4,6-trimethoxyphenol-1-*O*- β -D-glycoside (3), 9-*O*- β -glucopyranosyl trans-cinnamyl alcohol (4), 3,4,5-trimethoxyphenyl-1-*O*- β -apiofuranosyl-(1" \rightarrow 6')- β -glucopyranoside (5), 3-hydroxy-4,5-dimethoxyphenyl- β -D-glucopyranoside (6), 2,6-dimethoxy-4-hydroxyphenol-1-*O*- β -D-glucopyranoside (7), isotachioside (8),

基金项目: 国家自然科学基金 (216620040); 河池学院高层次人才科研项目 (2021GCC018); 河池学院科研项目 (2020XJYB007); 广西高校中青年教师科研基础能力提升项目 (2022KY0611) [Supported by National Natural Science Foundation of China (2020XJYB007); High-level Talents Scientific Research Project of Hechi University (2021GCC018); Scientific Research Project of Hechi University (2020XJYB007); Basic Ability Enhancement Program for Young and Middle-aged Teachers of Guangxi (2022KY0611)].

第一作者: 张高荣 (1992-), 硕士研究生, 主要从事天然药物化学研究, (E-mail) zhanggaorong15@163.com。

***通信作者:** 李俊, 教授, 博士生导师, 主要从事天然产物化学研究, (E-mail) lijun9593@gxnu.edu.cn。

ficuscarpanoside A(**9**), uridine(**10**), methyl syringate 4-*O*- β -D-glucopyranoside (**11**), 3,4,5-trimethoxyphenyl- β -D-glucopyranoside(**12**), luteolin(**13**), ginsenoside Rg1(**14**), (+)-lyonirensinol-3 α -*O*- β -D-glucopyranoside (**15**), myricetin 3-neohesperidoside (**16**). All compounds were isolated from plants of *Streblus* for the first time.

Key words: *Streblus ilicifolius*, chemical constituents, icaraside E5, secoisolariciresinol 9-*O*- β -glucopyranoside, ginsenoside Rg1

植物药或其他天然产物的化学成分和药理活性多样,是药物研发先导化合物的宝库,因此从天然植物,特别是从民间药用植物发现先导化合物是药物研发的热点。鹊肾树属植物中的鹊肾树、假鹊肾树和刺桑在民间一直作为民间药使用,药用历史悠久。

鹊肾树属(*Streblus* Lour.)属于桑科 (Moraceae) 植物。该属植物大约有22种,我国分布有7种,包括鹊肾树、假鹊肾树、刺桑、双果桑、尾叶刺桑、叶被木和米杨嗒,主要分布在海南、广西、云南东南至西南部地区(中国科学院中国植物志编委会,1998)。鹊肾树属植物的化学成分多样,且具有多种药理活性,常作为药物在民间使用。鹊肾树的叶萃取物具有抗癌作用(梁成钦等,2010),其心材或皮的化学成分具有抗菌、抗肝炎病毒、抗氧化、抗炎等的药理作用(黄纪国等,2012; Li et al., 2012; 张高荣等, 2021)。假鹊肾树皮常用于治疗外伤出血,跌打损伤,消化道出血,因此常常被称为“止血树皮”、“滑叶跌打”(HE et al., 2017; 陈锦明等, 1983)。前期化学药效物质研究表明,该属植物的化学成分主要有苯丙素类、甾体类、黄酮类¹、萜类及其他类化合物(Prakash et al., 1992; Li et al., 2012; Li et al., 2012; Li et al., 2013; Li et al., 2014; Singh et al., 2015; Ren et al., 2017; 张高荣等, 2021)。刺桑 (*Streblus ilicifolius* 隶属于鹊肾树属植物。基于同属植物亲缘性关系,其化学成分及药理活性可能具有相似性。经文献调研发现,刺桑化学成分及其生物活性的研究未见报道。基于鹊肾树和假鹊肾树的化学成分及多样的药理活性,为了更深入研究、开发和利用该属植物,本研究通过多种色谱方法,对刺桑皮正丁醇部位进行化学成分研究,共鉴定**16**个化合物,主要为酚苷类化合物,化合物结构式如图1所示。这些化合物均为首次从鹊肾树属植物中分离得到。

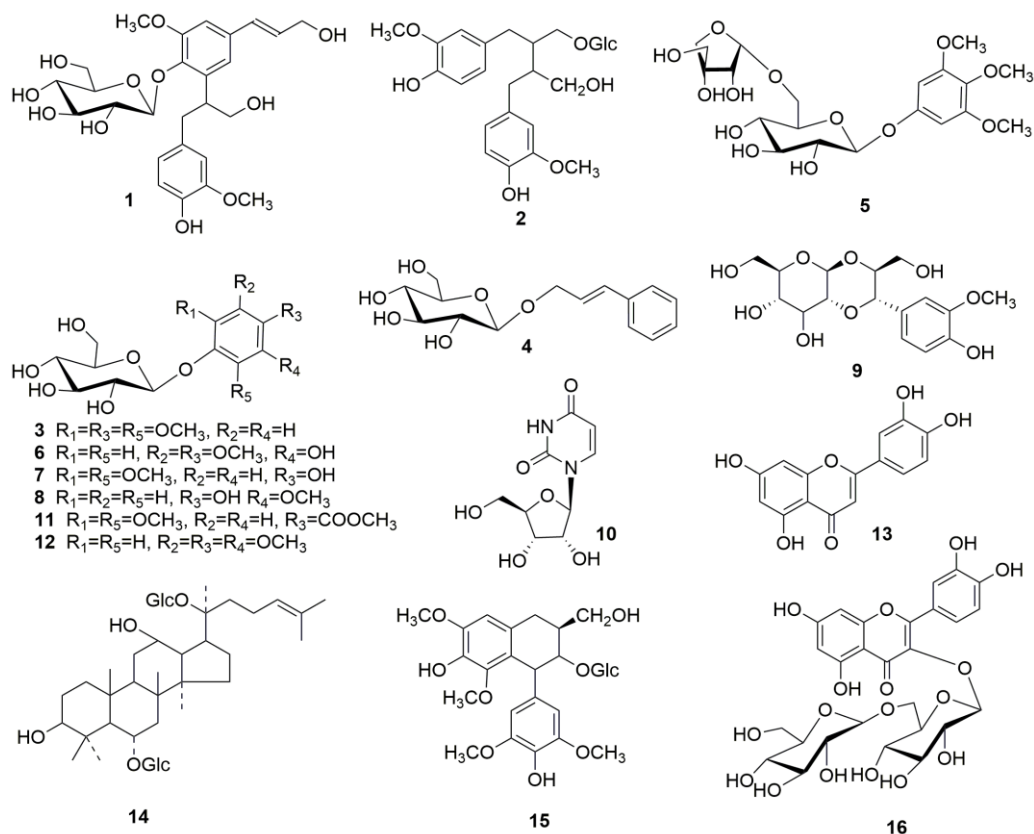


图 1 化合物 1-16 的结构式
Fig. 1 Structures of compounds 1-16

1 材料与仪器

1.1 实验材料

实验药材于 2019 年 8 月 12 日采自海南陵水县佳西, 经云南中医药大学中药学院李国栋教授鉴定为刺桑(*Streblus ilicifolius*, 植物标本(ZFC201903014e) 存放于广西师范大学化学与药学院国家重点实验室天然产物研究室。

1.2 实验仪器和试剂

Agilent 6545 Q-TOF LC-MS 高分辨质谱仪(美国 Agilent 公司); Bruker AVANCE 400/600 MHz 核磁共振仪(Bruker BioSpin AGFacilities 公司); LC3000 半制备高效液相色谱仪(北京创新通恒科技有限公司); LC1260 半制备高效液相色谱仪(美国 Agilent 公司); 柱层析硅胶粉(200-400 目)和薄层色谱硅胶板(G254)购自青岛海洋化工厂; ODS 填料、Sephadex LH-20 填料、MCI 填料(Merck, Germany)均购自于北京绿百草科技有限公司。5%硫酸乙醇显色剂自配, 其原材料购自于西陇化工有限公司; 甲醇、乙醇、丙酮、乙酸乙酯、三氯甲烷、二氯甲烷等分析纯化学试剂均购自于西陇化工有限公司。

2 实验方法

干燥的刺桑皮 20 kg, 粉碎成粗粉, 用75%乙醇浸泡过夜, 70℃加热回流提取4次(一次80 L), 浓缩, 除尽乙醇后得到乙醇提取物浸膏 1.8 kg。将所得浸膏用水溶解, 分别用乙酸乙酯和正丁醇进行萃取, 得到乙酸乙酯萃取物部位(523.8 g)和正丁醇萃取物部位(374.6 g)。

将正丁醇萃取物部位(374.6 g)与等量的硅胶(200~300目)进行拌样, 混匀烘干, 二氯甲烷-甲醇(v/v 100:0~1:1)作为洗脱剂经硅胶柱层析进行梯度洗脱, 得到7个Fr.1-Fr.7组分。Fr.3(28.3 g)用RP-C₁₈填料进行拌样, 用甲醇-水(v/v 5:95~100:0)体系经RP-C₁₈柱层析进行梯度洗脱, 得到8个亚组分Fr.3-1-Fr.3-8。Fr.3-3经RP-C₁₈柱, 甲醇-水(v/v 5:95~50:50)体系梯度洗脱得到8个组分Fr.3-3-1-Fr.3-3-8。Fr.3-3-1经Sephadex LH-20, 流动相洗脱剂为甲醇-水(v/v 20:80), 然后经半制备HPLC以甲醇-水(v/v 20:80)洗脱得到化合物1(3.8 mg)。化合物2(4.6 mg)经葡聚糖凝胶Sephadex LH-20(甲醇)分离后以甲醇-水(v/v 30:70)为流动相经半制备型HPLC分离得到。化合物4(3.7 mg)由馏分Fr.3-3-8通过半制备HPLC以甲醇-水(v/v 28:72)洗脱得到。

Fr.3-4组分先用葡聚糖凝胶 Sephadex LH-20 分离, 甲醇作为流动相, 合并得到6个馏分Fr.3-4-1-Fr.3-4-6。Fr.3-4-2通过半制备HPLC以甲醇-水(v/v 20:80)洗脱得到化合物化合物3(5.1 mg)。Fr.3-5组分先用葡聚糖凝胶 Sephadex LH-20分离, 甲醇作为流动相, 合并得到6个馏分Fr.3-5-1-Fr.3-5-6。Fr.3-5-3组分再次经过葡聚糖凝胶 Sephadex LH-20 分离, 甲醇-水(v/v 10:90~80:20)作为流动相进行梯度洗脱后通过半制备HPLC以甲醇-水(v/v 18:82)洗脱得到化合物5(3.4 mg)。Fr.3-5-5再次经葡聚糖凝胶 Sephadex LH-20 分离, 甲醇-水(v/v 10:90~80:20)作为流动相进行梯度洗脱后得到5个馏分, 将Fr.3-5-5-2和Fr.3-5-5-3馏分分别通过半制备HPLC以甲醇-水(v/v 16:84)洗脱分别得到化合物13(3.5 mg)和化合物6(3.0 mg)。

Fr.4组分经过硅胶柱层析, 以二氯甲烷:甲醇(v/v 20:1~1:1)体系进行梯度洗脱, 得到5个馏分Fr.4-1-Fr.4-5。Fr.4-2馏分经葡聚糖凝胶 Sephadex LH-20 分离, 甲醇作为流动相, 合并得到7个馏分Fr.4-2-1-Fr.4-2-7。将Fr.4-2-2组分经葡聚糖凝胶 Sephadex LH-20 分离, 二氯甲烷-甲醇(v/v 1:1)作为流动相分离得到7小段Fr.4-2-2-1-Fr.4-2-2-7。Fr.4-2-2-2、Fr.4-2-2-3、Fr.4-2-2-5馏分分别通过半制备HPLC, 以乙腈-水(v/v 8:92)洗脱分别得到化合物8(3.4 mg)、化合物9(3.5 mg)、化合物10(4.1 mg)。Fr.4-2-5馏分经葡聚糖凝胶Sephadex LH-20 分离, 甲醇-水(v/v 30:70)体系作为流动相进行洗脱, 再通过半制备型HPLC, 以甲醇-水(v/v 16:84)体系进行洗脱得到化合物12(2.8 mg)。Fr.4-4馏分经葡聚糖凝胶Sephadex LH-20分离, 甲醇作为流动相, 合并得到5个馏分Fr.4-4-1-Fr.4-4-5。Fr.4-4-2馏分经葡聚糖凝胶 Sephadex LH-20 分

离, 甲醇-水 (v/v 10:90~80:20) 作为流动相进行梯度洗脱得到4个小段Fr.4-4-2-1- Fr.4-4-2-4。Fr.4-4-2-2 经半制备型HPLC, 以甲醇-水 (v/v 18:82) 体系洗脱得到化合物**7** (4.3 mg)。Fr.4-4-3 馏分经葡聚糖凝胶 Sephadex LH-20分离, 甲醇-水 (v/v 10:90~80:20) 作为流动相进行洗脱得到5个馏分Fr.4-4-3-1- Fr.4-4-3-5。Fr.4-4-3-1馏分经半制备型HPLC, 以甲醇-水 (v/v 16:84) 体系洗脱得到化合物**11** (2.9 mg) 和化合物**14** (4.0 mg)。Fr.4-3馏分合并后经葡聚糖凝胶 Sephadex LH-20 分离, 甲醇-水 (v/v 10:90~80:20) 作为流动相进行梯度洗脱得到6个小段Fr.4-3-1- Fr.4-3-6。Fr.4-3-2 经半制备型HPLC, 以甲醇-水 (v/v 18:82) 体系洗脱得到化合物**15** (6.6 mg)。Fr.4-3-3 经半制备型HPLC, 以甲醇-水 (v/v 10:90) 体系洗脱分别得到**16** (3.1 mg)。

3 化合物结构鉴定

化合物**1** 无定形粉末。HR-ESI-MS m/z : 545.1993 $[M + Na]^+$ 。 1H -NMR (400 MHz CD_3OD) δ_H 6.58 (1H, d, $J = 8.0$ Hz, H-2), 6.56 (1H, d, $J = 1.9$ Hz, H-5), 6.47 (1H, dd, $J = 8.0, 1.9$ Hz, H-6), 2.96 (1H, dd, $J = 13.8, 5.6$ Hz, H-7a), 2.72 (1H, dd, $J = 13.8, 9.4$ Hz, H-7b), 3.95 (1H, d, $J = 6.7, 2.7$ Hz, H-8a), 3.76 (1H, m, H-9a), 3.65 (1H, m, H-9b), 6.93 (1H, d, $J = 1.9$ Hz, H-2'), 6.91 (1H, d, $J = 2.0$ Hz, H-6'), 6.54 (1H, dd, $J = 16.0$ Hz, H-7'), 6.31 (1H, dd, $J = 16.0$ Hz, H-8'), 4.22 (1H, d, $J = 5.6, 1.6$ Hz, H-9'a), 4.67 (1H, dd, $J = 7.3, H-1''$), 3.43 (1H, m, H-2''), 3.39 (1H, m, H-3''), 3.36 (1H, m, H-4''), 3.11 (1H, m, H-5''), 3.79 (1H, d, $J = 1.9, H-6''a$), 3.65 (1H, d, $J = 1.9, H-6''b$), 3.68 (3H, s, 3-OCH₃), 3.82 (3H, s, 3'-OCH₃); ^{13}C -NMR (100 MHz CD_3OD) δ_C 133.16 (C-1), 115.61 (C-2), 148.37 (C-3), 145.32 (C-4), 113.68 (C-5), 122.55 (C-6), 39.13 (C-7), 42.77 (C-8), 66.80 (C-9), 135.35 (C-1'), 109.03 (C-2'), 153.42 (C-3'), 144.95 (C-4'), 138.91 (C-5'), 119.09 (C-6'), 131.46 (C-7'), 129.62 (C-8'), 63.65 (C-9'), 105.31 (C-1''), 75.91 (C-2''), 78.04 (C-3''), 71.20 (C-4''), 77.82 (C-5''), 62.40 (C-6''), 56.32 (3-OCH₃), 56.20 (3'-OCH₃)。以上数据与文献 (Lee et al., 2009) 比对基本一致, 故鉴定化合物**1**为icariside E5。

化合物**2** 浅黄色油状物。HR-ESI-MS m/z : 443.1676 $[M + Na]^+$ 。 1H -NMR (400 MHz CD_3OD) δ_H 6.68 (1H, d, $J = 2.5$ Hz, H-2), 6.64 (1H, d, $J = 1.9$ Hz, H-5), 6.58 (1H, dd, $J = 3.6, 1.9$ Hz, H-6), 2.70 (1H, dd, $J = 13.7, 7.8$ Hz, H-7a), 2.59 (1H, m, H-7b), 2.08 (1H, dd, $J = 7.8, 4.3$ Hz, H-8), 3.89 (1H, m, H-9a), 3.54 (1H, m, H-9b), 6.66 (1H, d, $J = 2.5$ Hz, H-2'), 6.62 (1H, d, $J = 1.9$ Hz, H-5'), 6.56 (1H, dd, $J = 3.6, 1.9$ Hz, H-6'), 2.61 (2H, m, H-7'), 2.00 (1H, dd, $J = 8.2, 5.1$ Hz, H-8'), 3.65 (1H, m, H-9'a), 3.57 (1H, dd, $J = 5.8, 2.7, H-9'b$), 4.19 (1H, d, $J = 7.8$ Hz, H-1''), 3.21 (1H, m, H-2''), 3.33 (1H, m, H-3''), 3.33 (1H, m, H-4''), 3.28 (1H, m, H-5''), 3.86 (1H, m, H-6'a), 3.68 (1H, d, $J = 5.2$ Hz, H-6'b), 3.75 (6H, s, 3, 3'-OCH₃); ^{13}C -NMR (100 MHz CD_3OD) δ_C 133.98 (C-1), 113.52 (C-2), 148.80 (C-3), 145.41 (C-4), 115.74 (C-5), 122.77 (C-6), 35.35 (C-7), 41.56 (C-8), 70.38 (C-9), 133.94 (C-1'), 113.35 (C-2'), 148.75 (C-3'), 145.39 (C-4'), 115.74 (C-5'), 122.71 (C-6'), 104.62 (C-1''), 78.15 (C-2''), 77.95 (C-3''), 71.67 (C-4''), 75.20 (C-5''), 62.72 (C-6''), 56.30 (3, 3'-OCH₃)。以上数据与文献 (蒋欢等, 2018) 比对基本一致, 故鉴定化合物**2**为裂环异落叶松脂醇-9-*O*- β -吡喃葡萄糖苷。

化合物**3** 白色粉末。HR-ESI-MS m/z : 369.1156 $[M + Na]^+$ 。 1H -NMR (400 MHz CD_3OD) δ_H 6.49 (2H, s, H-3, 5), 4.81 (1H, d, $J = 7.2, H-1'$), 3.33 (2H, m, H-2', 3'), 3.44 (2H, m, H-4', 5'), 3.92 (1H, dd, $J = 12.0, 2.3, H-6'a$), 3.66 (1H, dd, $J = 12.0, 6.7, H-6'b$); ^{13}C -NMR (100 MHz CD_3OD) δ_C 134.36 (C-1), 154.80 (C-2, 6), 96.02 (C-3, 5), 156.10 (C-4), 103.20 (C-1'), 74.95 (C-2'), 78.08 (C-3'), 71.71 (C-4'), 78.45 (C-5'), 62.73 (C-6'), 56.52 (2, 6-OCH₃), 61.23 (4-OCH₃)。以上数据与文献 (Chang et al., 2013) 比对基本一致, 故鉴定化合物**3**为2, 4, 6-三甲氧基苯酚-1-*O*- β -D-葡萄糖苷。

化合物**4** 浅黄色粉末。HR-ESI-MS m/z : 297.1333 $[M + H]^+$ 。 1H -NMR (400 MHz CD_3OD) δ_H 7.40 (2H, d, $J = 7.6$ Hz, H-2, 6), 7.29 (2H, d, $J = 8.5$ Hz, H-3, 5), 7.21 (1H, m, H-4), 6.72 (1H, d, $J = 16.3$ Hz, H-7), 6.15 (1H, dd, $J = 16.3, 8.1$ Hz, H-8), 4.35 (1H, d, $J = 7.9, H-1'$); ^{13}C -NMR (100 MHz CD_3OD) δ_C 137.76 (C-1), 126.58 (C-2, 6), 127.72 (C-3, 5), 128.99 (C-4), 135.15 (C-7), 128.63 (C-8), 71.69 (C-9), 100.89 (C-1'), 78.06 (C-2'), 77.95 (C-3'), 775.01 (C-4'), 75.98 (C-5'), 62.83 (C-6')。以上数据与文献 (Abd-ellah et al., 2014) 比对基本一致, 故鉴定化合物**4**为9-*O*- β -glucopyranosyl trans-cinnamyl alcohol。

化合物**5** 无色油状物。HR-ESI-MS m/z : 479.1759 $[M + H]^+$ 。 1H -NMR (400 MHz CD_3OD) δ_H 6.46 (2H, s,

H-2, 6), 4.80 (1H, d, $J = 7.1$ Hz, H-1), 3.44 (2H, m, H-2 ; 3), 3.35 (1H, m, H-4), 3.59 (1H, m, H-5), 4.04 (1H, d, $J = 9.3, 4.8$ Hz, H-6 a), 3.59 (1H, m, H-6 b), 4.97 (1H, d, $J = 2.7$ Hz, H-1"), 3.88 (1H, d, $J = 2.6$ Hz, H-2"), 3.59 (1H, m, H-3"), 3.95 (1H, d, $J = 9.7$ Hz, H-4"a), 3.74 (1H, d, $J = 9.7$ Hz, H-4"b), 3.55 (2H, m, H-5"), 3.82 (6H, s, 3,5-OCH₃), 3.71 (3H, s, 4-OCH₃); ¹³C-NMR(100 MHz CD₃OD) δ_C 134.59 (C-1), 96.31 (C-2, 6), 154.80 (C-3, 5), 155.95 (C-4), 103.17 (C-1), 74.87 (C-2), 77.95 (C-3), 71.58 (C-4), 77.00 (C-5), 68.74 (C-6), 110.84 (C-1"), 77.93 (C-2"), 80.48 (C-3"), 74.91 (C-4"), 65.34 (C-5"), 56.30 (3, 5-OCH₃), 56.20 (4-OCH₃)。以上数据与文献 (Kanchanapoom et al., 2002) 比对基本一致, 故鉴定化合物**5**为3, 4, 5-三甲氧基苯酚-1-*O*- β -呋喃芹糖基-(1" \rightarrow 6')- β -吡喃葡萄糖苷。

化合物**6** 白色无定形粉末。HR-ESI-MS m/z : 355.0999 [M + Na]⁺。 ¹H-NMR(400 MHz CD₃OD) δ_H 6.28 (1H, d, $J = 2.8$ Hz, H-2), 6.34 (1H, d, $J = 2.7$ Hz, H-6), 4.78 (1H, d, $J = 7.2$ Hz, H-1), 3.48-3.33 (4H, m, H-2 ; 3 ; 4 ; 5), 3.91 (1H, dd, $J = 12.0, 2.2$ Hz, H-6 a), 3.69 (1H, dd, $J = 12.0, 5.7$ Hz, H-6 b), 3.72 (3H, s, 4-OCH₃), 3.80 (3H, s, 5-OCH₃); ¹³C-NMR(100 MHz CD₃OD) δ_C 155.85 (C-1), 98.70 (C-2), 151.90 (C-3), 133.21 (C-4), 154.90 (C-5), 94.81 (C-6), 102.90 (C-1), 74.90 (C-2), 78.03 (C-3), 71.48 (C-4), 78.23 (C-5), 62.59 (C-6), 61.11 (4-OCH₃), 56.35 (5-OCH₃)。以上数据与文献 (Takara et al., 2002) 比对基本一致, 故鉴定化合物**6**为3-羟基-4, 5-二甲氧基苯酚- β -D-吡喃葡萄糖苷。

化合物**7** 白色无定形粉末。HR-ESI-MS m/z : 355.0999 [M + Na]⁺。 ¹H-NMR(400 MHz CD₃OD) δ_H 6.13 (2H, s, H-3, 5), 4.67 (1H, d, $J = 7.1$ Hz, H-1), 3.21 (1H, m, H-2) 3.48-3.33 (3H, m, H-3 ; 4 ; 5), 3.81 (1H, d, $J = 2.1$ Hz, H-6 a), 3.69 (1H, d, $J = 2.1, 5.0$ Hz, H-6 b), 3.79 (6H, s, 2, 6-OCH₃); ¹³C-NMR(100 MHz CD₃OD) δ_C 129.57 (C-1), 154.74 (C-2, 6), 94.47 (C-3, 5), 156.01 (C-4), 106.19 (C-1), 75.70 (C-2), 77.79 (C-3), 71.29 (C-4), 78.26 (C-5), 62.58 (C-6), 56.76 (2, 6-OCH₃)。以上数据与文献 (Ishimaru et al., 1990) 比对基本一致, 故鉴定化合物**7**为2, 6-二甲氧基-4-羟基苯酚-1-*O*- β -D-吡喃葡萄糖苷。

化合物**8** 白色无定形粉末。HR-ESI-MS m/z : 303.1074 [M + H]⁺。 ¹H-NMR(400 MHz CD₃OD) δ_H 6.47 (H, d, $J = 2.7$ Hz, H-2), 7.01 (H, d, $J = 8.7$ Hz, H-5), 6.30 (H, dd, $J = 8.7, 2.7$ Hz, H-6), 4.70 (1H, d, $J = 7.8$ Hz, H-1), 3.46-3.32 (3H, m, H-2 ; 3 ; 4 ; 5), 3.86 (1H, dd, $J = 12.0, 2.4$ Hz, H-6 a), 3.69 (1H, dd, $J = 12.0, 5.5$ Hz, H-6 b), 3.81 (3H, s, 3-OCH₃); ¹³C-NMR(100 MHz CD₃OD) δ_C 141.02 (C-1), 151.98 (C-2), 101.23 (C-3), 154.91 (C-4), 107.55 (C-5), 120.46 (C-6), 104.28 (C-1), 75.05 (C-2), 78.12 (C-3), 71.35 (C-4), 77.81 (C-5), 62.35 (C-6), 56.76 (3-OCH₃)。以上数据与文献 (刘彦飞等, 2014) 比对基本一致, 故鉴定化合物**8**为isotachioside。

化合物**9** 白色粉末。HR-ESI-MS m/z : 381.1156 [M + Na]⁺。 ¹H-NMR(400 MHz CD₃OD) δ_H 6.99 (1H, d, $J = 1.9$ Hz, H-2), 6.78 (1H, d, $J = 8.1$ Hz, H-5), 6.86 (1H, dd, $J = 8.1, 1.9$ Hz, H-6), 4.45 (1H, d, $J = 9.5$ Hz, H-7), 3.80 (1H, ddd, $J = 9.6, 5.2, 2.3$ Hz, H-8), 3.45-3.34 (2H, m, H-9), 4.60 (1H, d, $J = 7.7$ Hz, H-1), 3.15 (1H, dd, $J = 9.7, 7.7$ Hz, H-2), 3.58 (1H, t, $J = 9.1$ Hz, H-3), 3.48 (1H, ddd, $J = 11.5, 5.7, 2.5$ Hz, H-4), 3.45-3.34 (1H, m, H-5), 3.91 (1H, dd, $J = 11.9, 2.2$ Hz, H-6 a), 3.73 (1H, dd, $J = 11.9, 5.6$ Hz, H-6 b); ¹³C-NMR(100 MHz CD₃OD) δ_C 130.11 (C-1), 112.28 (C-2), 148.96 (C-3), 148.02 (C-4), 116.03 (C-5), 121.85 (C-6), 80.22 (C-7), 82.67 (C-8), 62.08 (C-9), 99.79 (C-1), 80.75 (C-2), 75.07 (C-3), 71.85 (C-4), 79.79 (C-5), 62.55 (C-6), 56.40 (4-OCH₃)。以上数据与文献 (Wang et al., 2017) 比对基本一致, 故鉴定化合物**9**为ficuscarpanoside A。

化合物**10** 白色晶状物质。HR-ESI-MS m/z : 245.0786 [M + H]⁺。 ¹H-NMR(400 MHz CD₃OD) δ_H 5.70 (1H, d, $J = 8.1$ Hz, H-2, 6), 8.02 (1H, d, $J = 7.1$ Hz, H-6), 5.90 (1H, d, $J = 4.7$ Hz, H-1), 4.18 (1H, d, $J = 5.0$ Hz, H-2), 4.15 (1H, d, $J = 4.9$ Hz, H-3), 4.01 (1H, d, $J = 4.0$ Hz, H-4) 3.84 (1H, dd, $J = 12.3, 2.8$ Hz, H-5 a), 3.73 (1H, dd, $J = 12.3, 3.2$ Hz, H-5 b); ¹³C-NMR (100 MHz CD₃OD) δ_C 152.47 (C-2), 166.21 (C-4), 102.64 (C-5), 142.73 (C-6), 90.64 (C-1), 71.31 (C-2), 75.73 (C-3), 86.37 (C-4), 62.26 (C-5)。以上数据与文献 (Ma et al., 2010) 比对基本一致, 故鉴定化合物**10**为uridine。

化合物**11** 无色晶体。HR-ESI-MS m/z : 375.1286 [M + H]⁺。 ¹H-NMR(400 MHz CD₃OD) δ_H 7.35 (2H, s, H-2, 6), 5.08 (1H, d, $J = 7.5$, H-1), 3.40 (1H, m, H-2), 3.22 (1H, ddd, $J = 9.5, 5.5, 2.4$ Hz, H-3), 3.40 (1H, m, H-4), 3.49 (1H, m, H-5), 3.77 (1H, dd, $J = 12.0, 2.4$ Hz, H-6 a), 3.65 (1H, dd, $J = 12.0, 5.3$ Hz, H-6 a), 3.90 (6H,

s, 3, 5-OCH₃), 3.89 (3H, s, 7-OCH₃); ¹³C-NMR (100 MHz CD₃OD) δ_C 127.07 (C-1), 108.40 (C-2, 6), 154.19 (C-3, 5), 140.23 (C-4), 168.03 (C=O), 104.44 (C-1'), 78.45 (C-2'), 71.34 (C-3'), 75.70 (C-4'), 77.86 (C-5'), 62.52 (C-6'), 57.05 (3, 5-OCH₃), 52.78 (4-OCH₃)。以上数据与文献 (Fujimatu et al., 2003) 比对基本一致, 故鉴定化合物**11**为methyl syringate 4-*O*-β-D-glucopyranoside。

化合物**12** 白色粉末。HR-ESI-MS *m/z*: 369.1105 [M + Na]⁺。 ¹H-NMR (600 MHz CD₃OD) δ_H 6.46 (2H, s, H-2, 6), 4.81 (1H, m, *J* = 7.8 Hz, H-1'), 3.92 (1H, dd, *J* = 12.0, 2.2 Hz, H-6'a), 3.81 (6H, s, 3, 5-OCH₃), 3.70 (3H, s, 4-OCH₃); ¹³C-NMR (150 MHz CD₃OD) δ_C 156.06 (C-1), 96.05 (C-2, 6), 154.79 (C-3, 5), 134.38 (C-4), 103.18 (C-1'), 74.93 (C-2'), 78.42 (C-3'), 71.69 (C-4'), 78.06 (C-5'), 62.72 (C-6'), 56.52 (3, 5-OCH₃), 61.21 (4-OCH₃)。以上数据与文献 (宣伟东等, 2006) 比对基本一致, 故鉴定化合物**12**为3, 4, 5-三甲氧基苯酚-β-D-吡喃葡萄糖苷。

化合物**13** 黄色粉末。 ¹H-NMR (400 MHz CD₃OD) δ_H 6.53 (1H, s, H-3), 6.20 (1H, d, *J* = 2.1 Hz, H-6), 6.43 (1H, d, *J* = 2.1 Hz, H-8), 7.37 (1H, s, H-2'), 6.90 (1H, d, *J* = 8.5 Hz, H-5), 7.39 (1H, d, *J* = 2.2 Hz, H-6')。以上数据与文献 (刘文斌等, 2018) 比对基本一致, 故鉴定化合物**13**为木犀草素。

化合物**14** 白色粉末。HR-ESI-MS *m/z*: 615.3867 [M + Na]⁺。 ¹H-NMR (400 MHz CD₃OD) δ_H 1.00 (3H, s, H-18), 1.00 (3H, s, H-19), 1.62 (3H, s, H-21), 1.10 (3H, s, H-26), 1.34 (3H, s, H-27), 1.68 (3H, s, H-28), 1.33 (3H, s, H-29), 0.95 (3H, s, H-30), 4.35 (1H, d, *J* = 7.8 Hz, H-1''), 4.81 (1H, d, *J* = 7.8 Hz, H-1'); ¹³C-NMR (100 MHz CD₃OD) δ_C 40.17 (C-1), 25.57 (C-2), 77.63 (C-3), 40.47 (C-4), 61.74 (C-5), 80.92 (C-6), 42.25 (C-7), 41.84 (C-8), 50.57 (C-9), 40.34 (C-10), 31.37 (C-11), 71.15 (C-12), 50.57 (C-13), 52.42 (C-14), 30.93 (C-15), 27.23 (C-16), 53.10 (C-17), 17.63 (C-18), 17.82 (C-19), 84.90 (C-20), 22.83 (C-21), 36.61 (C-22), 24.22 (C-23), 125.83 (C-24), 132.28 (C-25), 25.89 (C-26), 17.96 (C-27), 31.51 (C-28), 16.10 (C-29), 17.11 (C-30), 105.54 (C-1'), 75.45 (C-2'), 79.82 (C-3'), 71.84 (C-4'), 78.18 (C-5'), 62.50 (C-6'), 98.26 (C-1''), 75.35 (C-2''), 79.04 (C-3''), 71.66 (C-4''), 77.90 (C-5''), 62.88 (C-6'')。以上数据与文献 (杨炳友等, 2018) 比对基本一致, 故鉴定化合物**14**为人参皂苷Rg1。

化合物**15** 浅黄色油状物。HR-ESI-MS *m/z*: 465.1755 [M + H]⁺。 ¹H-NMR (400 MHz CD₃OD) δ_H 2.63 (1H, dd, *J* = 15.1 Hz, H-1a), 2.74 (1H, dd, *J* = 15.1, 4.8 Hz, H-1b), 1.72 (1H, m, H-2), 2.08 (1H, m, H-3), 4.42 (1H, d, *J* = 6.2 Hz, H-4), 4.42 (1H, d, *J* = 6.2 Hz, H-4), 6.58 (1H, s, H-8), 3.65 (1H, dd, *J* = 5.2, 11.8 Hz, H-11a), 3.55 (1H, dd, *J* = 10.9, 6.6 Hz, H-11b), 3.90 (1H, dd, *J* = 9.8, 4.4 Hz, H-12a), 3.45 (1H, dd, *J* = 4.1, 9.8 Hz, H-12a), 6.43 (1H, s, H-2'; 6'), 4.28 (1H, d, *J* = 7.7, H-1''), 3.24 (1H, m, H-2''), 3.45 (1H, m, H-3''), 3.38 (1H, m, H-4''), 3.24 (1H, m, H-5''), 3.65 (1H, dd, H-6''a), 3.83 (1H, dd, H-6''b), 3.34 (3H, s, 5-OCH₃), 3.86 (1H, s, 7-OCH₃), 3.75 (6H, s, 3'; 5'-OCH₃); ¹³C-NMR (100 MHz CD₃OD) δ_C 34.9 (C-1), 41.02 (C-2), 47.15 (C-3), 43.24 (C-4), 148.01 (C-5), 139.78 (C-6), 149.42 (C-7), 108.26 (C-8), 130.62 (C-9), 126.87 (C-10), 66.64 (C-11), 71.86 (C-12), 139.35 (C-1'), 107.32 (C-2'; 6'), 149.07 (C-3'; 5'), 134.90 (C-4'), 105.28 (C-1''), 75.62 (C-2''), 78.68 (C-3''), 72.10 (C-4''), 78.39 (C-5''), 63.27 (C-6''), 60.60 (5-OCH₃), 57.02 (7-OCH₃), 57.28 (3'; 5'-OCH₃)。以上数据与文献 (Balázs et al., 2002) 比对基本一致, 故鉴定化合物**15**为(+)-lyonirensol-3α-*O*-β-D-glucopyranoside。

化合物**16** 黄色无定形粉末。HR-ESI-MS *m/z*: 611.1606 [M + H]⁺。 ¹H-NMR (400 MHz, CD₃OD): δ_H 6.21 (d, *J* = 2.0 Hz, 1H, H-6), 6.40 (d, *J* = 2.0 Hz, 1H, H-8), 7.66 (d, *J* = 2.1 Hz, 1H, H-2'), 6.87 (d, *J* = 8.5 Hz, 1H, H-5'), 7.62 (dd, *J* = 2.1, 8.5 Hz, 1H, H-6'), 5.10 (d, *J* = 7.7 Hz, 1H, H-1''), 3.46 (dd, *J* = 7.7, 8.9 Hz, 1H, H-2''), 3.40 (t, *J* = 8.9 Hz, 1H, H-3''), 3.26 (t, *J* = 8.9 Hz, 1H, H-4''), 3.32 (ddd, *J* = 1.2, 6.1, 8.9 Hz, 1H, H-5''), 3.80 (dd, *J* = 1.2, 11.0 Hz, 1H, H-6a''), 3.38 (dd, *J* = 6.1, 11.0 Hz, 1H, H-6b''), 4.51 (d, *J* = 1.5 Hz, 1H, H-1'''), 3.62 (dd, *J* = 1.5, 3.4 Hz, 1H, H-2'''), 3.53 (dd, *J* = 3.4, 9.6 Hz, 1H, H-3'''), 3.27 (t, *J* = 9.6 Hz, 1H, H-4'''), 3.44 (dq, *J* = 6.2, 9.6 Hz, 1H, H-5'''), 1.11 (d, *J* = 6.2 Hz, 1H, H-6'''). ¹³C NMR (100 MHz, CD₃OD): δ_C 179.4 (C-4), 166.1 (C-7), 162.9 (C-5), 159.4 (C-9), 158.5 (C-2), 149.8 (C-4'), 145.9 (C-3'), 135.6 (C-3), 123.5 (C-6'), 123.1 (C-1'), 117.7 (C-2'), 116.1 (C-5'), 105.6 (C-10), 104.7 (C-1''), 102.4 (C-1'''), 99.9 (C-6), 94.9 (C-8), 78.2 (C-3''), 77.2 (C-5''), 75.7 (C-2''), 73.9 (C-4''), 72.2 (C-3'''), 72.1 (C-2'''), 71.4 (C-4'), 69.7 (C-5'''), 68.5 (C-6''), 17.9 (C-6'''). 以上数据与

文献 (Kohei et al., 2003) 比对基本一致, 故鉴定化合物 **16** 为 myricetin 3-neohesperidoside。

4 讨论与结论

本实验对刺桑皮的正丁醇部位化学成分进行研究, 并从该植物中首次分离并鉴定了 16 个化合物, 其结构涉及苯丙素类、黄酮类、皂苷类及酚苷类, 主要以酚苷类成分为主。据文献报道, 化合物 icariside E5 (**1**) 具有清除 DPPH 的能力, 其 IC_{50} 值为 $42.1 \mu\text{mol} \cdot \text{L}^{-1}$, 表明其具有一定的抗氧化能力 (Lee et al., 2009); 木犀草素 (**13**) 具有抗肿瘤、抗氧化、抗炎等作用 (Wang et al., 2013); 人参皂苷 Rg1 (**14**) 具有抗疲劳、抗衰老、促血管生成和保护血管的作用 (Yang et al., 2021)。因此, 本研究首次对刺桑的化学成分进行研究, 研究结果丰富了对刺桑物质基础的认识, 一定程度上填补了该植物化学成分的研究空白, 拓展了该属植物的化学成分。其药理活性正在研究中, 以期发现活性好的先导化合物, 为新药研究提供先导化合物来源, 对为开发和利用该属植物提供一定的理论依据。

参考文献:

- ABD-ELLAH AE, MOHAMED KM, BACKHEET EY, et al., 2014. Cinnamyl alcohol, benzyl alcohol, and flavonoid glycosides from *Sanchezia nobilis* [J]. Chem Nat Comp, 50(5): 823-826.
- BALÁZS B, TÓTH G, DUDDECK H, et al., 2006. Iridoid and lignan glycosides from *Citharexylum spinosum* L. [J]. Nat Prod Res, 20(2): 201-205.
- CHANG RJ, WANG CH, ZENG Q, et al., 2013. Chemical constituents of the stems of *Celastrus rugosus* [J]. Arch Pharm Res, 36: 1291-1301.
- CHEN JM, QIN YN, CANG HD, 1983. Analgesic and sedative effects of *Pseudostreblus indica* Bur. [J]. J Xuzhou Med Univ, 4: 20-22. [陈锦明, 秦延年, 仓汉德, 1983. 假鹊肾树皮的镇痛镇静作用[J]. 徐州医学院学报, 4: 20-22.]
- Editorial Committee of Flora of China Chinese Academy of Sciences 1998. Flora Reipublicae Popularis Sinicae [M]. Beijing: Science Press, 23:38-41. [中国科学院中国植物志编委会, 1998. 中国植物志[M]. 北京: 科学出版社, 23: 38-41.]
- FUJIMATU E, ISHIKAWA T, KITAJIMA J, 2003. Aromatic compound glucosides, alkyl glucoside and glucide from the fruit of *anise* [J]. Phytochemistry, 63: 609-616.
- HE RJ, ZHANG YJ, WU L D, et al., 2017. Benzofuran glycosides and coumarins from the bark of *Streblus indicus* (Bur.) Corner [J]. Phytochemistry, 138: 170-177.
- HUANG JG, LI J, WU Q, et al., 2012. Constituents from heartwood of *Streblus asper* and their antibacterial activity [J]. Nat Prod Res Dev, 24: 780-783. [黄纪国, 李俊, 吴强, 等, 2012. 鹊肾树心材的化学成分及体外抗菌活性研究[J]. 天然产物研究与开发, 24: 780-783.]
- ISHIMARU K, SUDO H, SATAKE M, et al., 1990. Phenyl glucosides from a hairy root culture of *Swertia japonica* [J]. Phytochemistry, 29(12): 3823-3825.
- JIANG H, HUANG CW, LIAO HB, et al., 2018. Two new lignan glucosides from caulis of *Tinospora sinensis* [J]. Chin Trad Herb Drugs, 49(10): 2334-2344. [蒋欢, 黄诚伟, 廖海兵, 等, 2018. 中华青牛胆中2个新的木脂素葡萄糖苷[J]. 中草药, 49(10): 2334-2344.]
- KANCHANAPOOM T, KASAIA R, YAMASAKIA K, et al., 2002. Iridoid and phenolic glycosides from *Morinda coreia* [J]. Phytochemistry, 59: 551-556.
- KOHEI K, NAONOBU N, MASAHICO S, 2003. Malonylated flavonol glycosides from the petals of *Clitoria ternatea*. [J]. Phytochemistry, 62: 229-237.
- LEE DY, LEE DG, CHO JG, et al., 2009. Lignans from the fruits of the red pepper (*Capsicum annuum* L.) and their antioxidant effects [J]. Arch Pharm Res, 32(10): 1345-1349.
- LIANG CQ, DAI ZK, WANG Z, et al., 2010. Anticancer effect petroleum ether extract from leaves of *Streblus*

- asper* Lour and its components [J]. J Anhui Agric Sci, 38(8): 2340-2341.[梁成钦, 戴支凯, 王峥, 等, 2010. 鹊肾树叶石油醚萃取物及其组分抗肿瘤作用研究[J]. 安徽农业科学, 38(5): 2340-2341.]
- LI C, HUANG CP, LU TL, et al., 2014. Tandem mass spectrometric fragmentation behavior of lignans, flavonoids and triterpenoids in *Streblus asper* [J]. Rapid Comm Mass Sp, 28: 2363-2370.
- LI LQ, LI J, HUANG Y, et al., 2012. Lignans from the heartwood of *Streblus asper* and their inhibiting activities to hepatitis B virus [J]. Fitoterapia, 83: 303-309.
- LI J, MENG AP, GUAN XL, et al., 2013. Anti-hepatitis B virus lignans from the root of *Streblus asper* [J]. Bioorg Med Chem Lett, 23: 2238-2244.
- LI J, TANG MT, WU Q, et al., 2012. Water-soluble constituents of the heartwood of *Streblus asper* [J]. Nat Prod Comm, 7(5): 599-602.
- LIU WB, DONG LM, LUO B, et al., 2018. Chemical constituents from the leaves of *Cyclocarya paliurus* [J]. J Trop Subtrop Bot, 26(3): 317-322. [刘文斌, 董丽梅, 罗碧, 等, 2018. 青钱柳叶的化学成分研究[J]. 热带亚热带植物学报, 26(3): 317-322.]
- LIU YF, LIANG D, LUO H, et al., 2014. Chemical constituents from root tubers of *Rehmannia glutinosa* [J]. Chin Trad Herb Drugs, 45(1): 16-22.[刘彦飞, 梁东, 罗桓, 等, 2014. 地黄的化学成分研究[J]. 中草药, 45(1): 16-22.]
- MA YT, QIAO LR, SHI WQ, et al., 2010. Metabolites produced by an endophyte *Alternaria Alternata* isolated from *Maytenus hookeri* [J]. Chem Nat Comp, 46(3): 504-506.
- PRAKASH K, DEEPAK D, KHARE A, et al., 1992. A pregnane glycoside from *Streblus asper* [J]. Phytochemistry, 31(3): 1056-1057.
- REN YL, CHEN WL, LANTVIT DD, et al., 2017. Cardiac glycoside constituents of *Streblus asper* with potential antineoplastic activity [J]. J Nat Prod, 80: 648-658.
- SINGH SP, SINGH AP, SINGH R, et al., 2015. A brief study on *Strebulus asper* L. [J]. Res J Phytomed, 1(2): 65-71.
- TAKARA K, MATSUI D, WADA K, et al., 2002. New antioxidative phenolic glycosides isolated from *Kokuto* non-centrifuged cane sugar [J]. Biol Biotechnol Biochem, 66(1): 29-35.
- WANG JS, HE Y, ZHANG WJ, et al., 2013. Advances in studies on pharmacological effects of luteolin [J]. Chin Bull Life Sci, 25(6): 560-565.[王继双, 何焱, 张文静, 等, 2013. 木犀草素的药理作用研究进展[J]. 生命科学, 25(6): 560-565.]
- WANG LY, CHEN MH, WU J, et al., 2017. Bioactive glycosides from the twigs of *Litsea cubeba* [J]. J Nat Prod, 80: 1808-1818.
- XUAN WD, CHEN HS, BIAN J, 2006. A new indole alkaloid glycoside from stem of *Nauclea officinalis* [J], Acta Pharm Sin, 41(11): 1064-1067.[宣伟东, 陈海生, 卞俊, 2006. 胆木茎中一个新的吲哚生物碱苷[J]. 药学报, 41(11): 1064-1067.]
- YANG BY, YANG CL, LIU Y, et al., 2018. Chemical constituents from roots of *Datura metel* [J]. Chin J Chin Mat Med, 43(8): 1654-1661.[杨炳友, 杨春丽, 刘艳, 等, 2018. 洋金花根化学成分研究[J]. 中国中药杂志, 43(8): 1654-1661.]
- YANG YT, YANG Y, XIAO JM, et al., 2021. Research advances on the effect of ginsenoside Rg1 on angiogenesis and vascular protection [J]. Acta Pharm Sin, 56(8): 2146-2153. [杨岩涛, 杨岩, 肖佳妹, 等, 2021. 人参皂苷 Rg1促血管生成及其血管保护作用研究进展[J]. 药学报, 56(8): 2146-2153.]
- ZHANG GR, HUANG XS, HUANG Y, et al., 2021. Research progress on chemical constituents and pharmacological activities of plants from *Streblus* [J]. Chin Trad Herb Drugs, 52(19): 6066-6075.[张高荣, 黄锡山, 黄艳, 等, 2021. 鹊肾树属植物的化学成分和药理活性研究进展[J]. 中草药, 52(19): 6066-6075.]